



2020中国生物医学工程大会暨创新医疗峰会——  
中国生物医学工程学会成立40周年庆

# 组织光学成像及其生物医学应用

Tissue Optical Imaging — Principles and Biomedical Applications

天津大学

精密仪器与光电子工程学院

高峰

2020-11-20



- 1、物理基础和实现方式
- 2、工作原理与测量模式
- 3、生物医学应用系统
- 4、方法与技术展望



### 传统光学

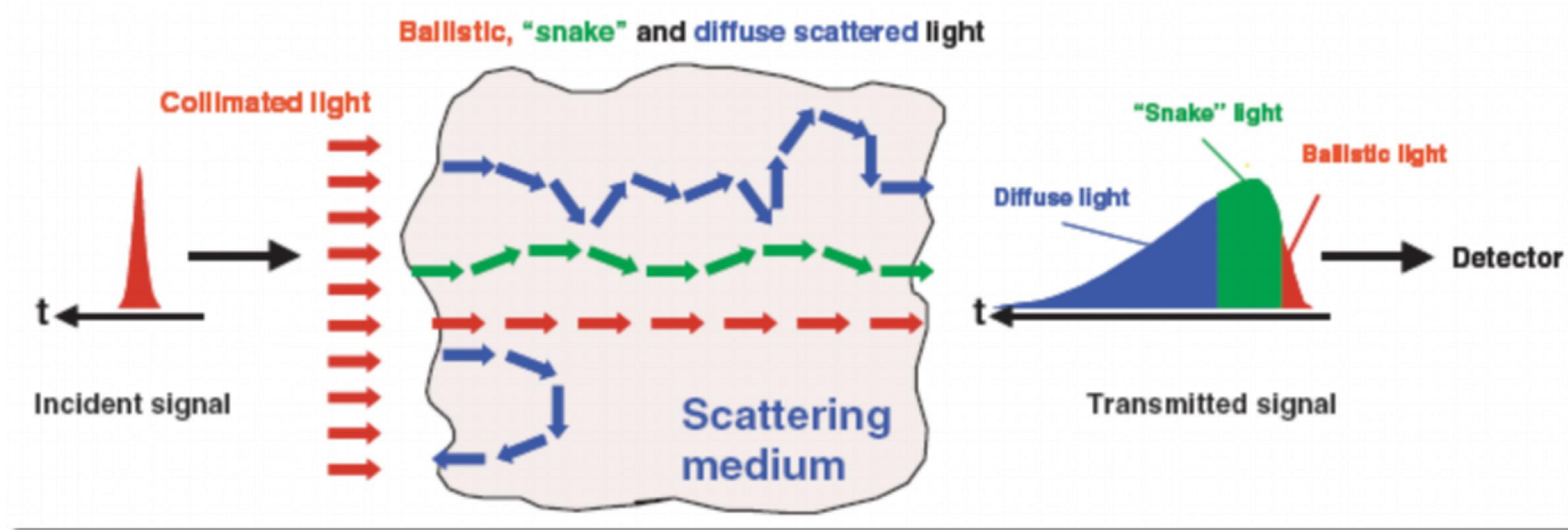
#### Coherent Light Imaging

- Depth: 1-3 mm
- Spatial Resolution : 1-15  $\mu\text{m}$

### 组织光学

#### Diffuse Light Imaging

- Depth: 5-10 cm
- Spatial Resolution: 1-5 mm



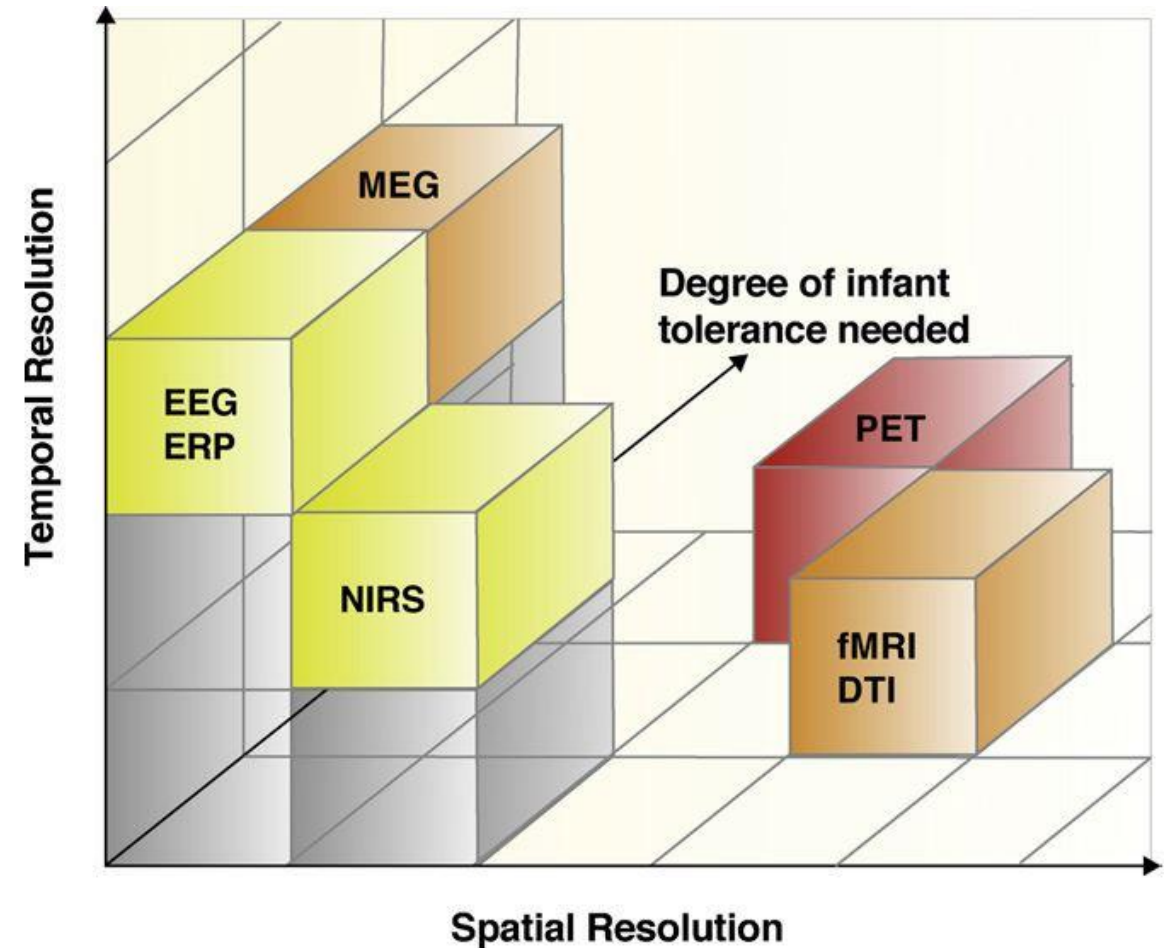


### Established Medical Functional Imaging Modalities

- **fMRI**: high spatial-resolution but low temporal-resolution, only total hemoglobin (THb), and unmovable.
- **PET**: high-sensitivity, radiation emitter, bulky, and expensive.
- **EEG/MEG**: high temporal-resolution, low spatial-resolution, and Low electromagnetic resistance

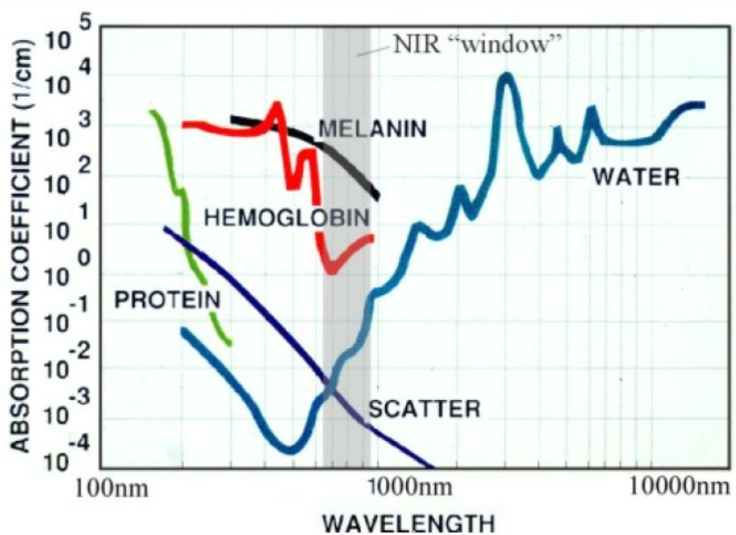
### Optical Imaging (NIRS)

- ✓ Completely non-invasive;
- ✓ Higher temporal-resolution with reasonable spatial-resolution;
- ✓ Direct measurement of oxy- and deoxy-hemoglobin concentrations;
- ✓ Portable & wearable.

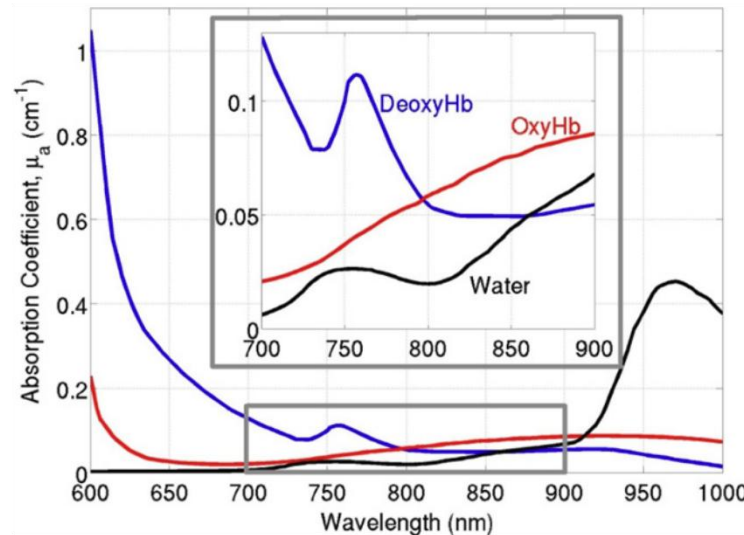




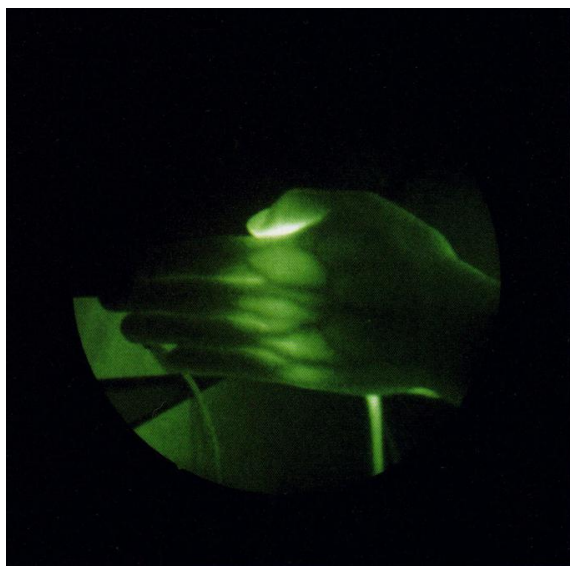
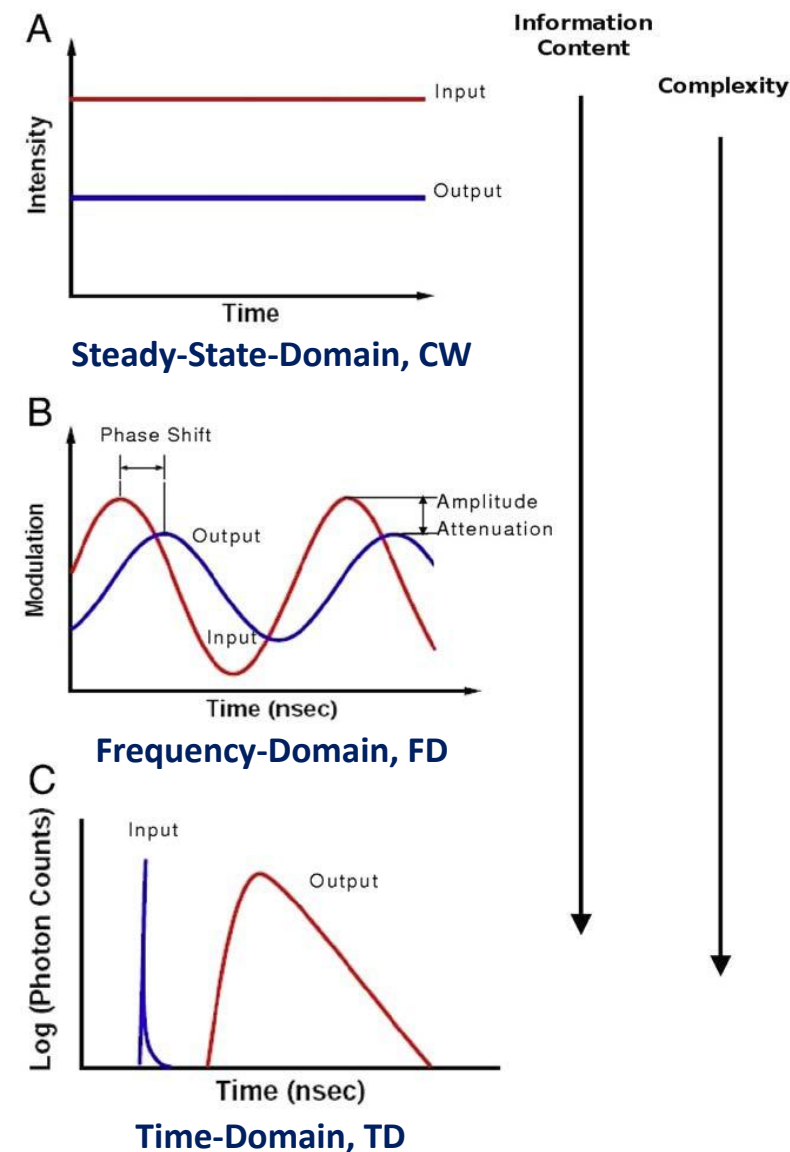
## ① 窗口效应



## ② 色差效应



## ③ 测量模式

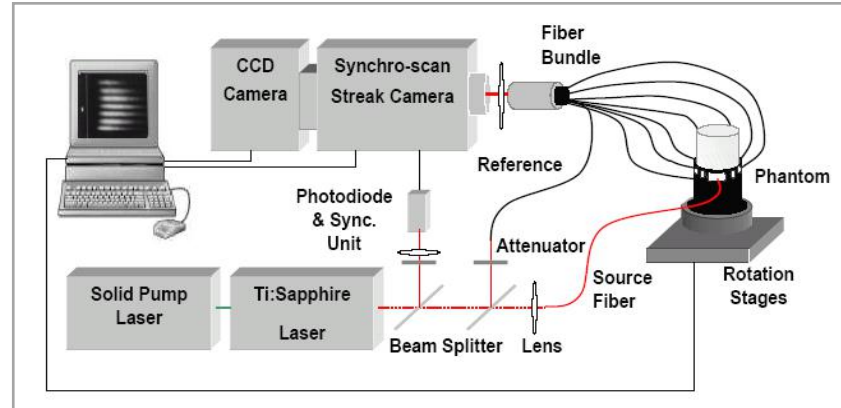
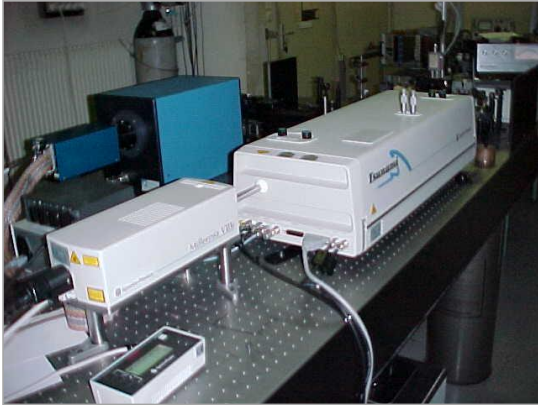


## Hemoglobin Concentrations:

$$\begin{cases} [Hb] = \frac{\epsilon_{HbO_2}^{\lambda_2} \cdot \mu_a^{\lambda_1} - \epsilon_{HbO_2}^{\lambda_1} \cdot \mu_a^{\lambda_2}}{\epsilon_{HbO_2}^{\lambda_2} \cdot \epsilon_{Hb}^{\lambda_1} - \epsilon_{HbO_2}^{\lambda_1} \cdot \epsilon_{Hb}^{\lambda_2}} \\ [HbO_2] = \frac{\epsilon_{Hb}^{\lambda_1} \cdot \mu_a^{\lambda_2} - \epsilon_{Hb}^{\lambda_2} \cdot \mu_a^{\lambda_1}}{\epsilon_{HbO_2}^{\lambda_2} \cdot \epsilon_{Hb}^{\lambda_1} - \epsilon_{HbO_2}^{\lambda_1} \cdot \epsilon_{Hb}^{\lambda_2}} \end{cases}$$

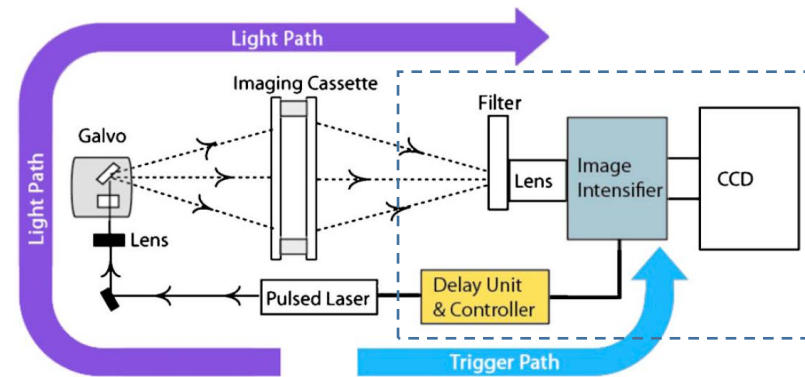


## Streak Camera (SC)



High Temporal Resolution; Low Dynamic Range and SNR; Low Spatial Sampling; High Cost

## Time-gated ICCD



Reasonable Temporal Resolution; High Data Throughput; High Cost; Limited Dynamic Range and SNR

## Time-correlated Single Photon Counting (TCSPC)



TOF Analyzer



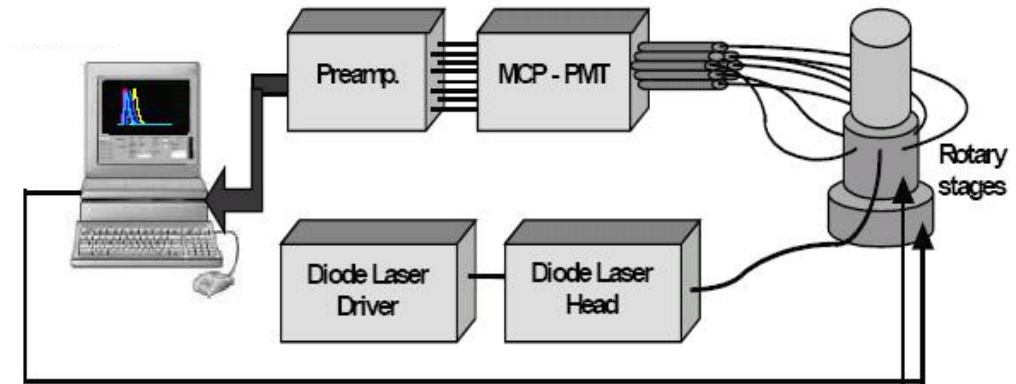
PMT



APD



SiPM



Reasonable Temporal Resolution; High Dynamic Range and SNR; Limited Spatial Sampling; Relatively moderate cost



- 近红外组织光谱学  
(Functional Near-Infrared Spectroscopy, fNIRS)
- 光学拓扑成像  
(Optical Topography/Mapping, OT/M)
- 扩散光学层析\*  
(Diffuse Optical Tomography, DOT)
- 荧光分子层析/扩散荧光层析\*  
(Fluorescence Molecular Tomography, FMT/DFT)

**\*Computational Imaging Regime**



### 乳腺肿瘤诊断(Breast Tumor Diagnosis)

Differentiating between healthy and diseased tissues by measuring difference in optical properties of tissue



### 脑功能探测(Brain Function Analysis)

Separating changes in oxy- and deoxy-hemoglobin concentrations during physical and psychological excises



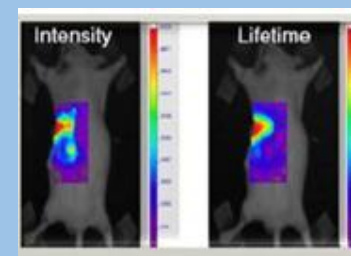
### 新生儿脑监护(Monitoring of Neonatal Brain)

Monitoring hemoglobin concentration and oxygenation to prevent perinatal hypoxic-ischemic brain injury



### 在体分子影像(In-vivo Molecule Imaging)

Volumetrically imaging molecular functions and events through fluorescent molecule-specific probe.

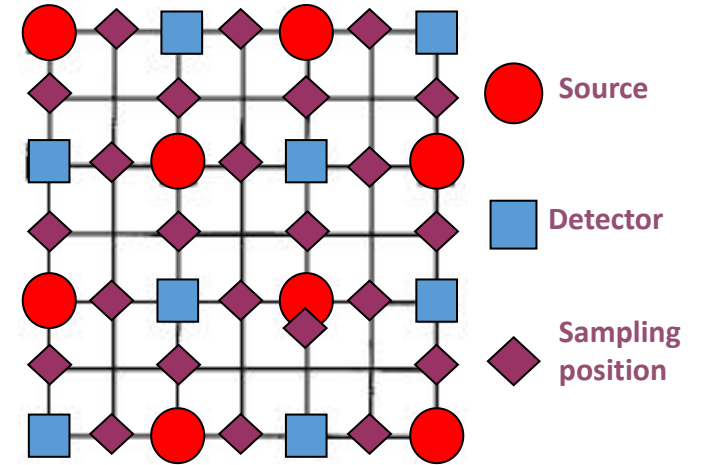
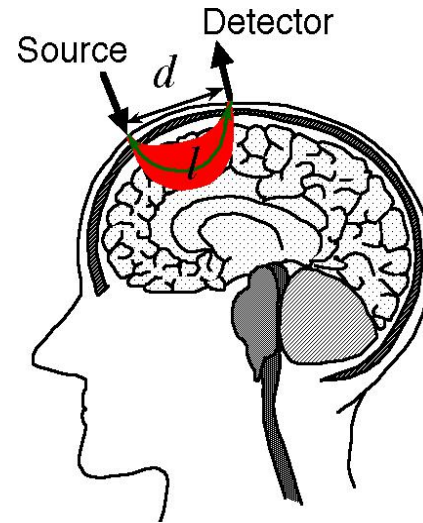
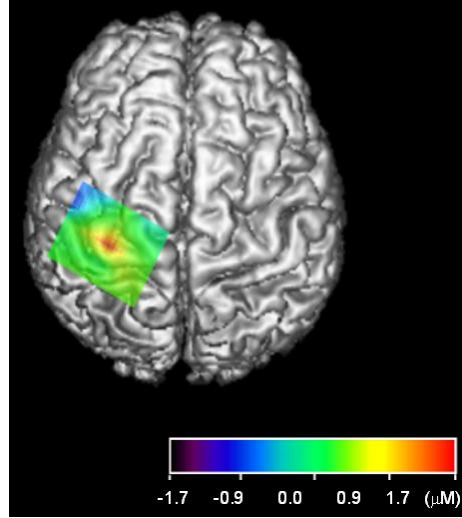




# 光学拓扑成像(Optical Mapping)



Measuring hemodynamics in a shallow (cerebral/muscle) areas under a source-detector array based on the Modified Lambert-Beer Law (MLBL)



$l$ : Optical Pathlength

$$\Delta A = \log(I_{task} / I_{rest}) = l\mu_a = l\epsilon\Delta c$$



CW6 (美国)



ETG4000 (日本)

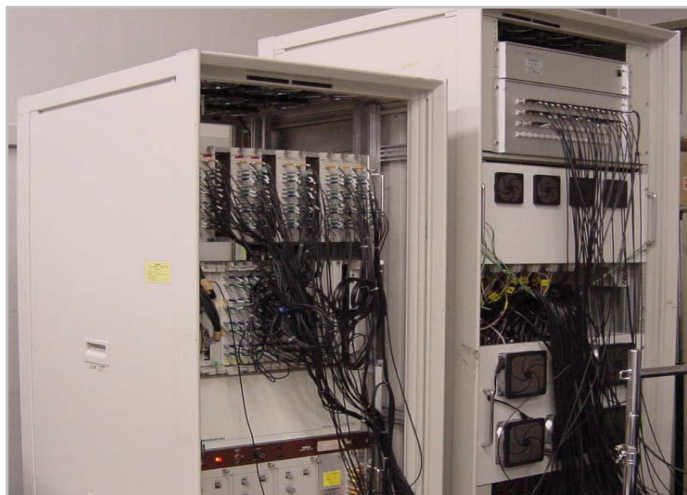


OXYMON MkIII (荷兰)

# 扩散光学层析(DOT)



Probing hemodynamic status in a deep tissue by a discrete source-detector deployment on the boundary, assuming that an unique distribution of optical properties corresponds to the measurement set.

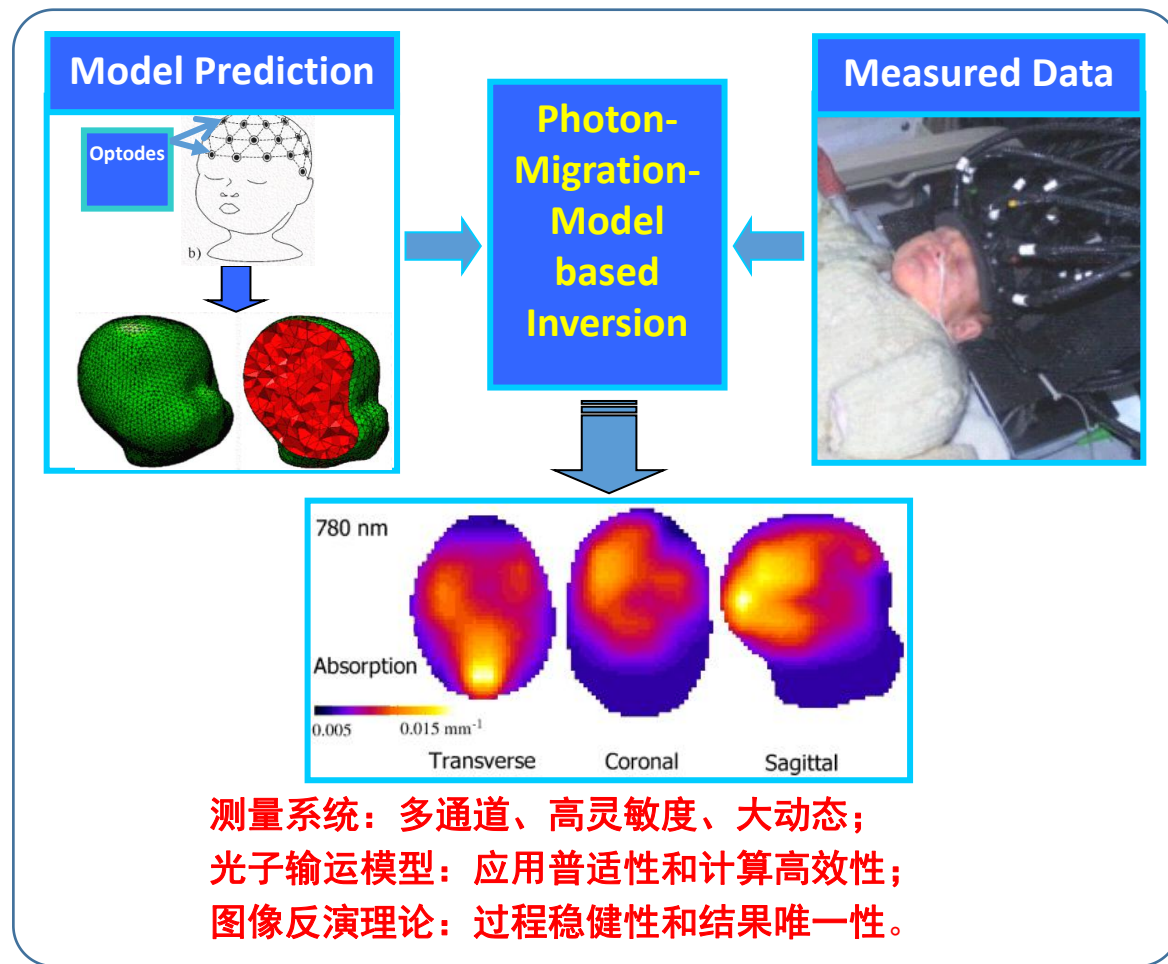


AIST系统 (日本)



MONSTIR系统 (英国)

## 基本原理





## 辐射输运理论



### 随机模型

1. Random walk theory
2. **Monte-Carlo method (accelerated by GPU)**
  - **Voxel-based**
  - **Mesh-based**



### 确定模型

1. Radiative transfer equation (RTE)
2. **Photon diffusion equation ( $P_1$ )**
  - **Finite-difference method (FDM)**
  - **Finite-element method (FEM)**
  - **Boundary-element method (BEM)**
3. High-order Spherical Harmonics ( $P_N$ )
4. Simplified Spherical Harmonics ( $SP_N$ )



➤ 最大似然估计(MLE)

$$\boldsymbol{\mu} = \arg \max p(\mathbf{M} | \boldsymbol{\mu})$$

◆ 牛顿-拉夫逊非线性格式  $\mathbf{M} - \mathbf{F}(\boldsymbol{\mu}_k) = J(\boldsymbol{\mu}_k)(\boldsymbol{\mu}_{k+1} - \boldsymbol{\mu}_k)$

◆ 直接非线性优化格式  $\boldsymbol{\mu} = \arg \min \|\mathbf{M} - \mathbf{F}(\boldsymbol{\mu})\|$

➤ 高斯-马尔科夫图像模型下的贝叶斯最大后验估计 (MAP with Guassian-Markov Image Model)

$$\boldsymbol{\mu} = \arg \max p(\boldsymbol{\mu} | \mathbf{M}) = \arg \max [p(\mathbf{M} | \boldsymbol{\mu}) p(\boldsymbol{\mu})]$$

◆ 坐标下降法

➤ 基于深度学习的计算成像 (Deep-learning based computational imaging)

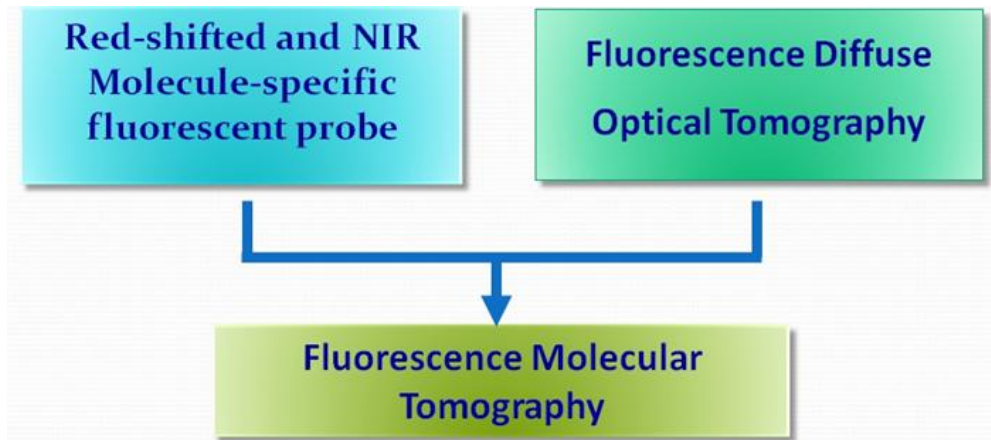
$$\boldsymbol{\mu} = \text{NN}(\mathbf{M})$$

◆ 黑箱法 (End-to-End)

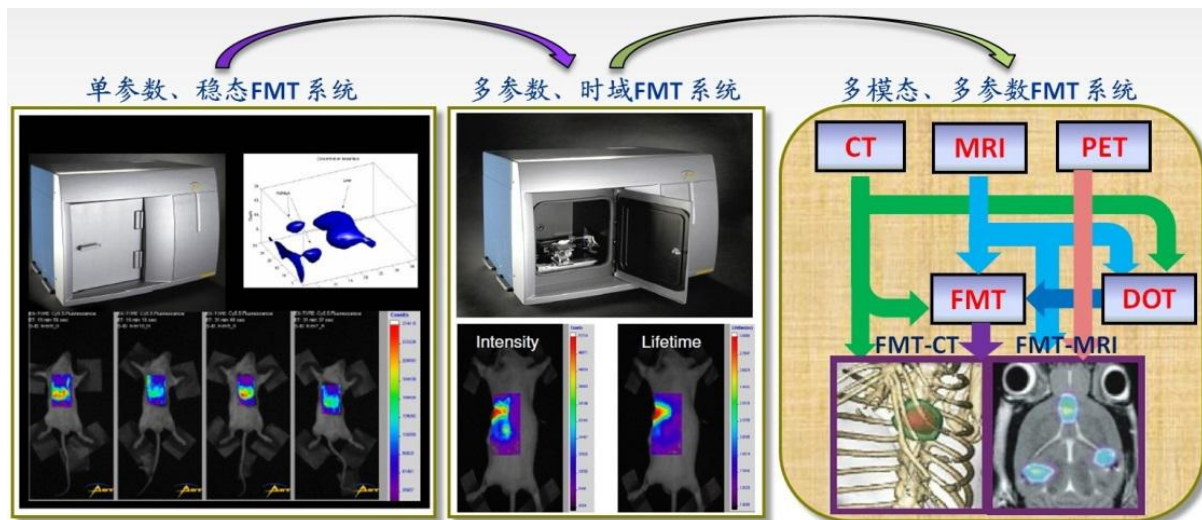
◆ 半黑箱法 (Physics-informed)



## 基本原理

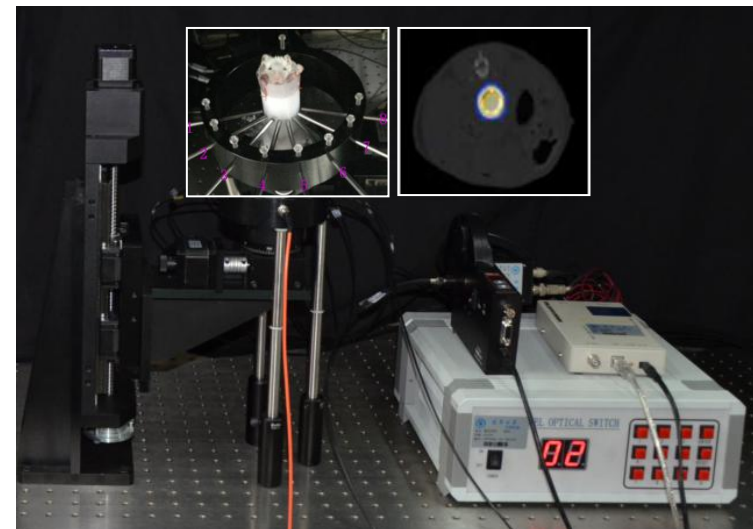


## 多模态、多参数方法

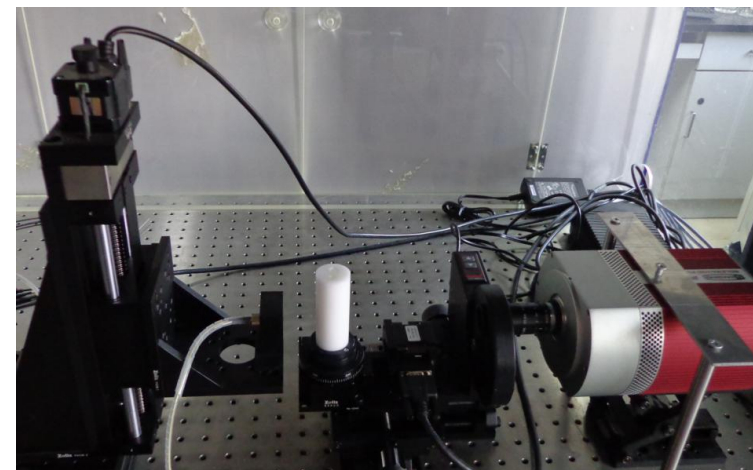


## 测量系统

光子计数



EM-CCD





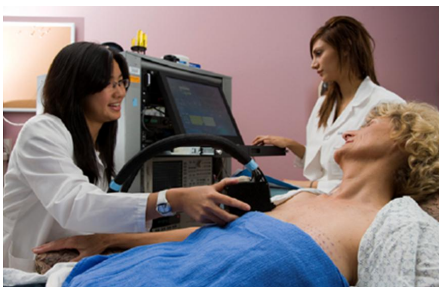
压板扫描



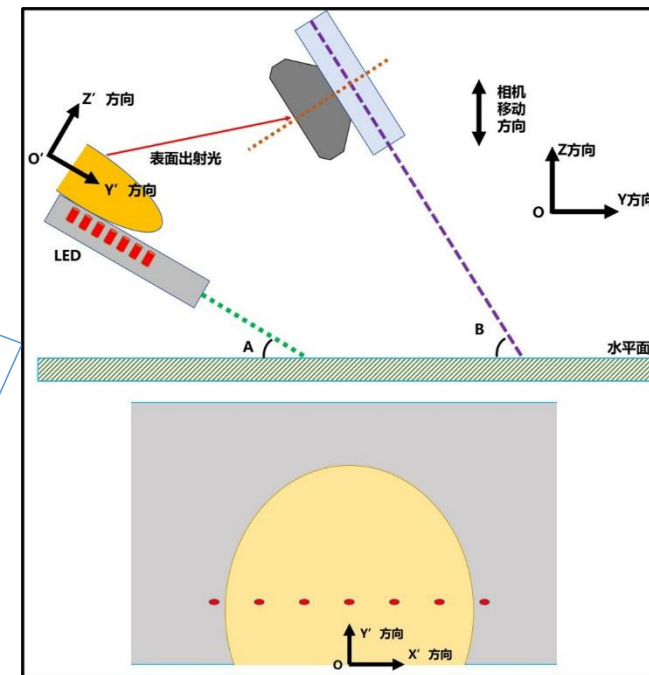
三维悬垂



手持反射式

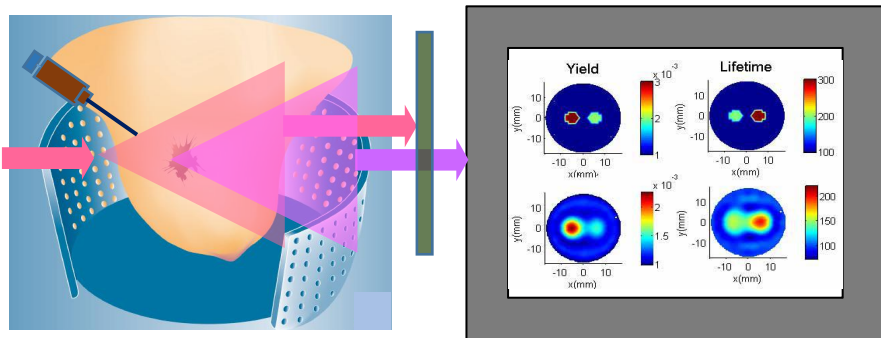


动态式



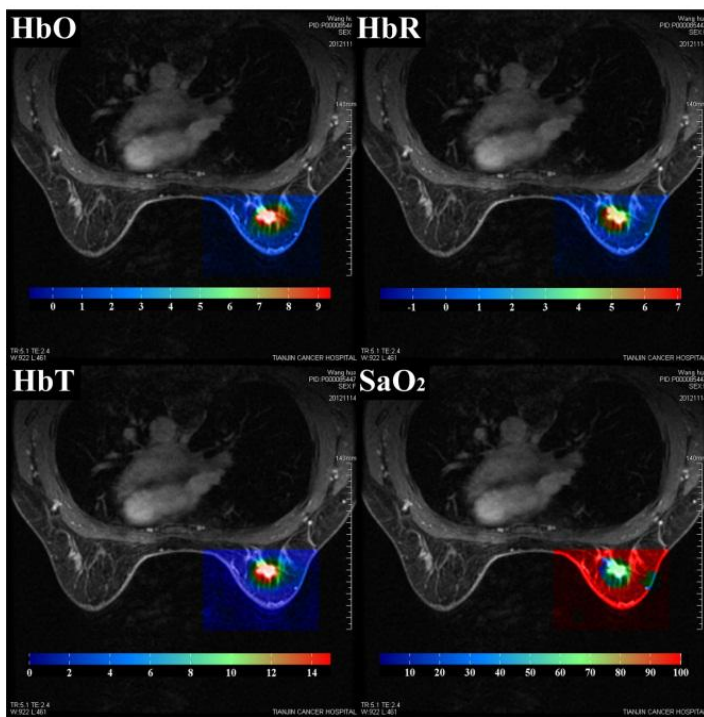
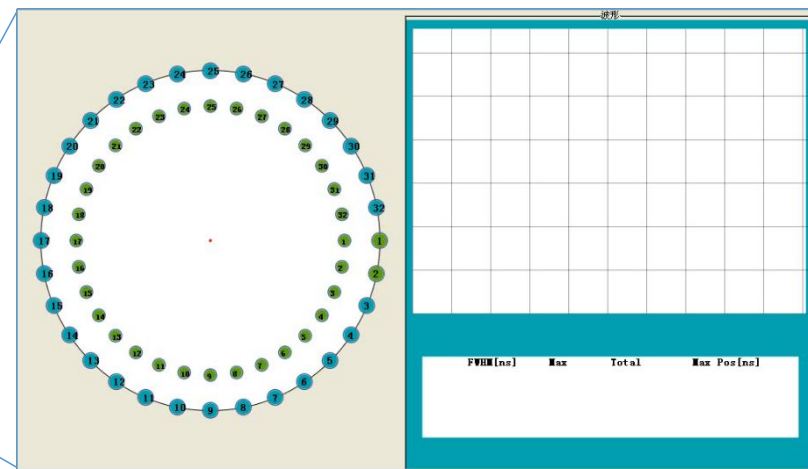
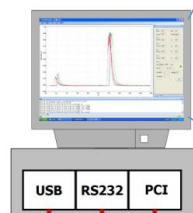


### 荧光成像的“灯塔”效应

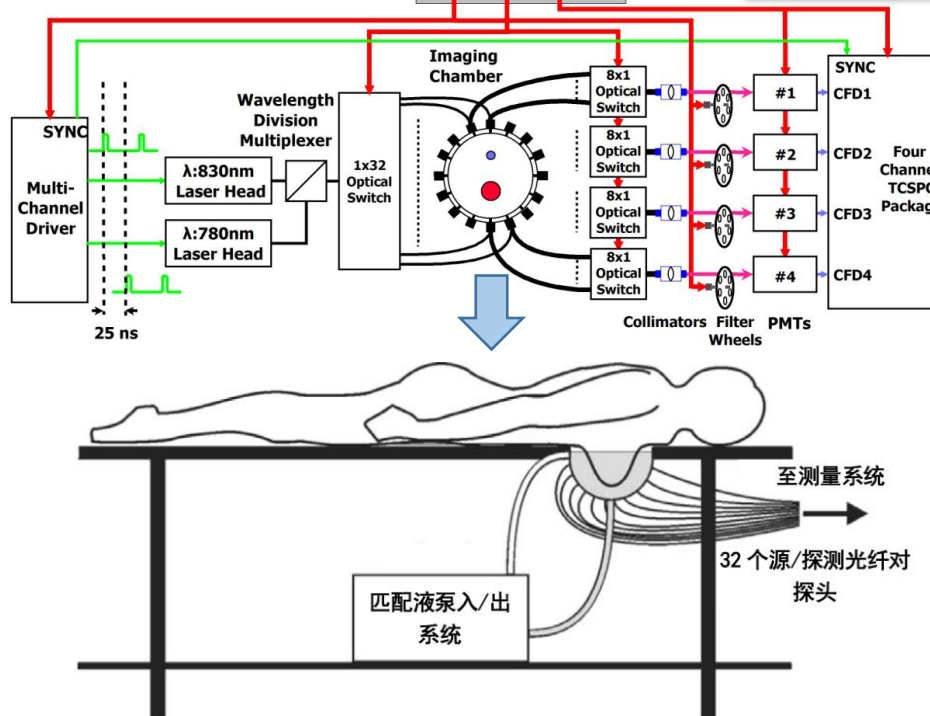


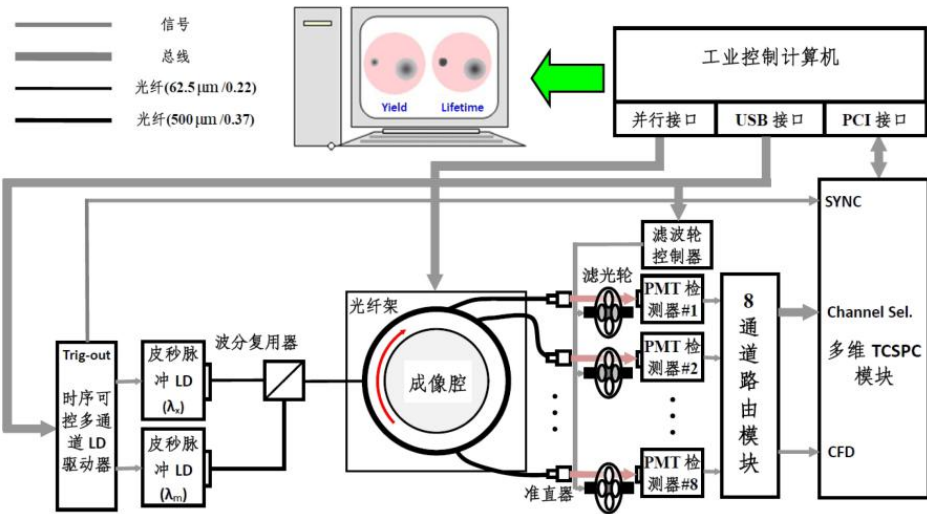
- 荧光成像的高灵敏性与光学成像的高特异性相结合
- 荧光DOT导航血氧DOT的新方法
- 解决超微弱光检测和多参数图像重建等关键技术难点

- Source Fibers (62.5um/0.22)
- Detection Fibers (1000um/0.37)
- Light Beam
- Signals
- Bus



46岁, 左乳上可见一肿物影

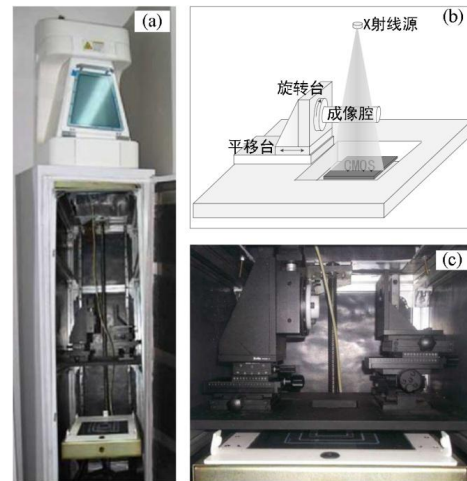




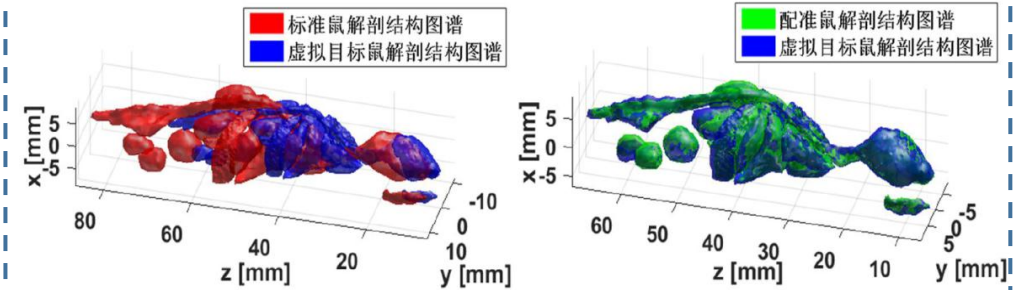
## 多通道TCSPC系统



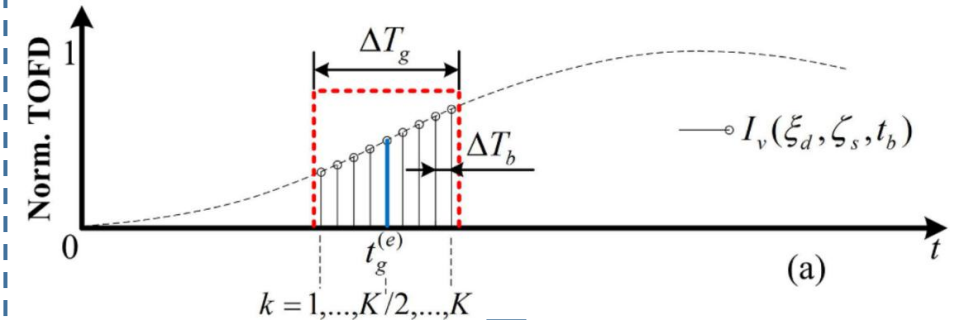
## CBCT系统



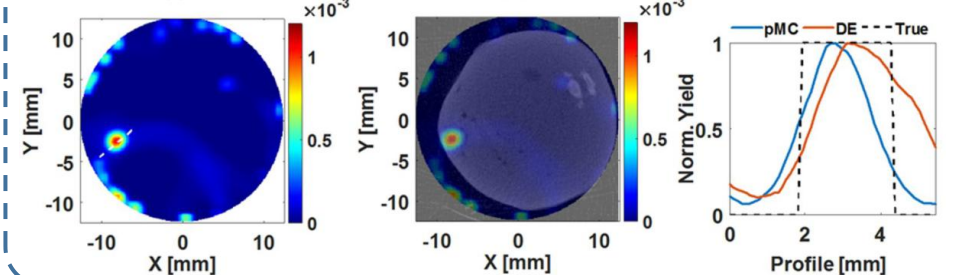
## ① 基于标准数字鼠配准的光学结构DOT获取



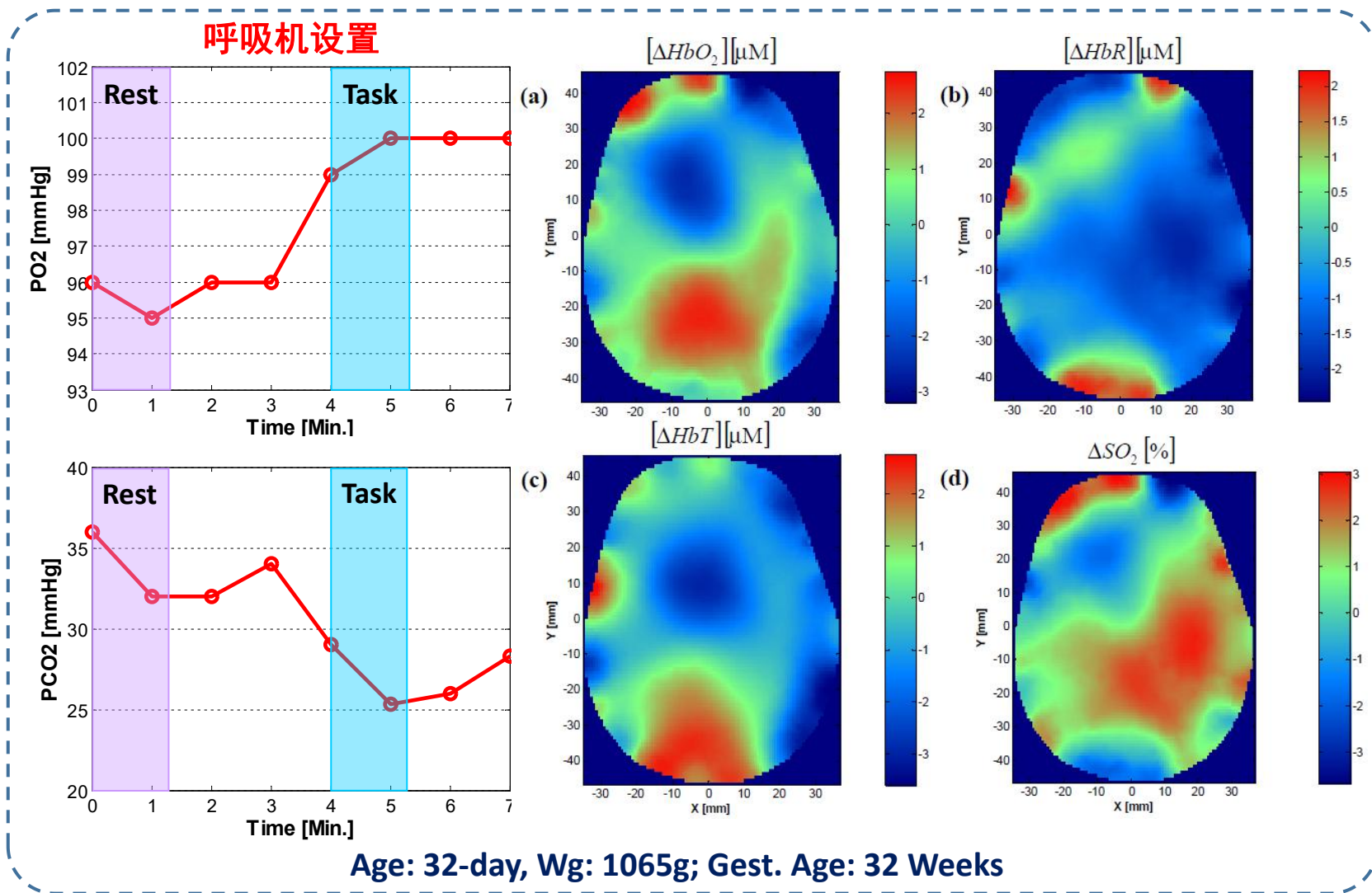
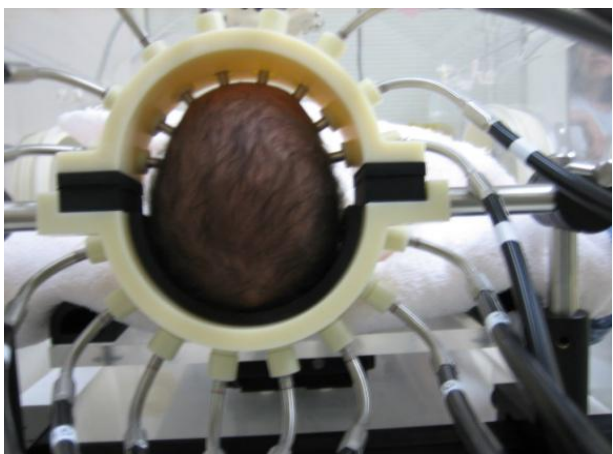
## ② 全时间分辨-早期光的重叠时间门数据



## ③ 基于pMC时间分辨光子输运模型的FMT

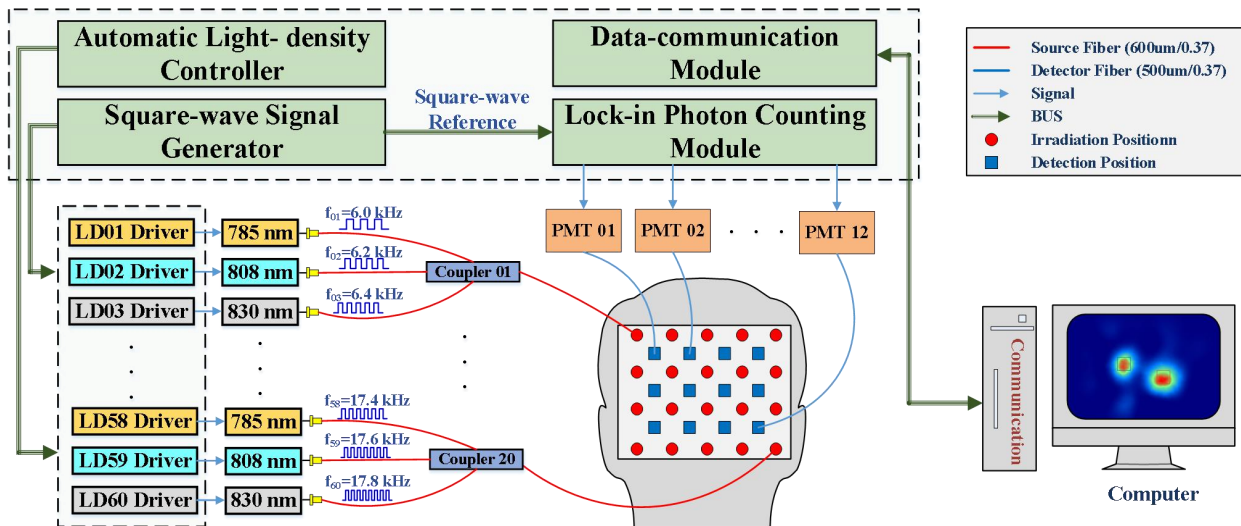




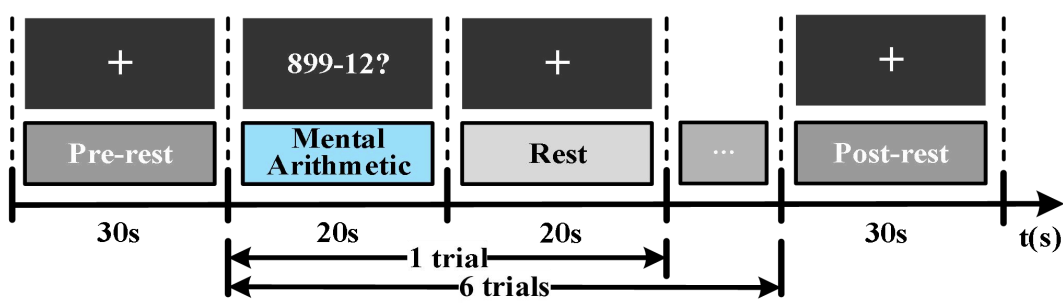




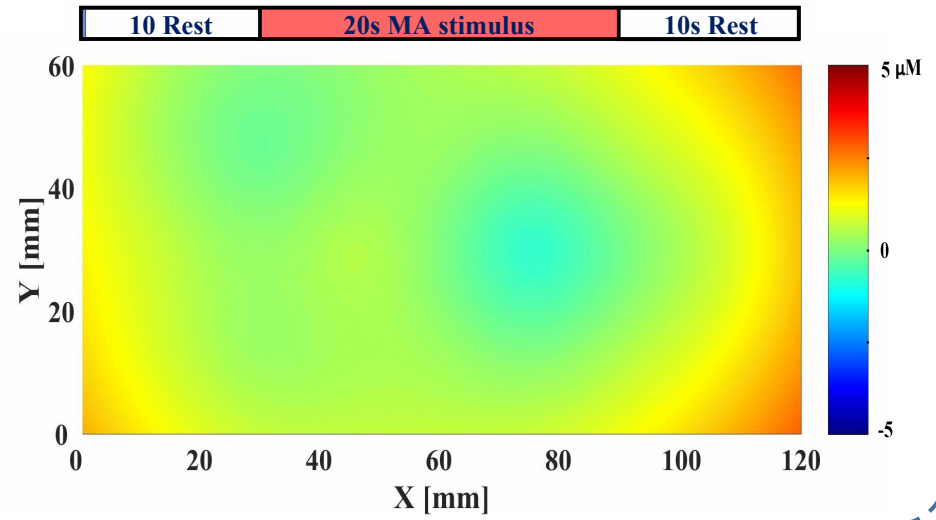
- **锁相光子计数** -> 全并行源激励下的高灵敏度测量模式
- **交叠区域采集** -> 严格光子输运模型下定量化和分辨率改善
- **双层拓扑图像** -> 头皮层干扰和脑皮层功能信号的有效分离



### 心算范式实验(Mental Arithmetic, MA)

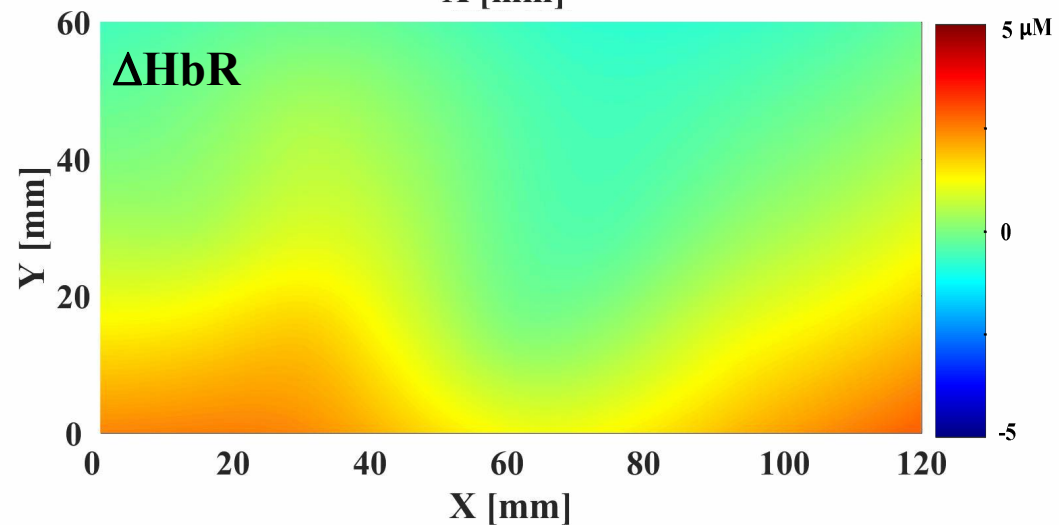
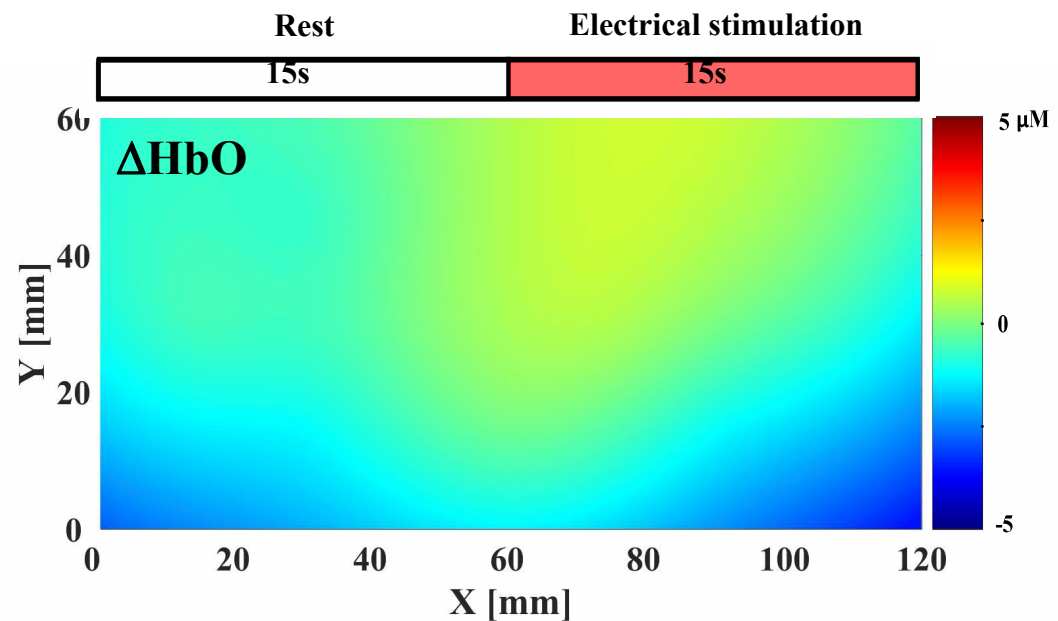


30s的实验前休息和6个单次实验(trial), 每个trial中被试者执行20s心算任务, 间隔20s休息, 30s实验后休息





## 受损脊椎电刺激下fNIRS肌氧监测

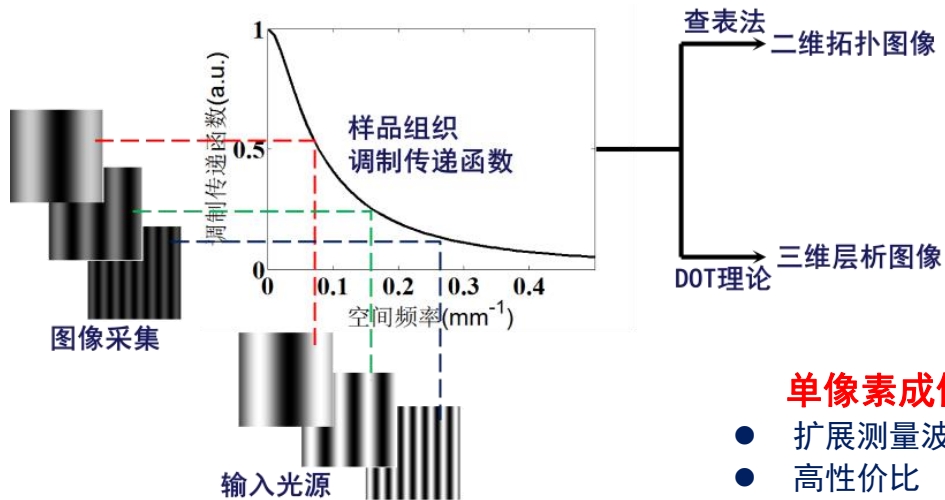


# 空间频率域成像

快速、宽场、深度分辨成像

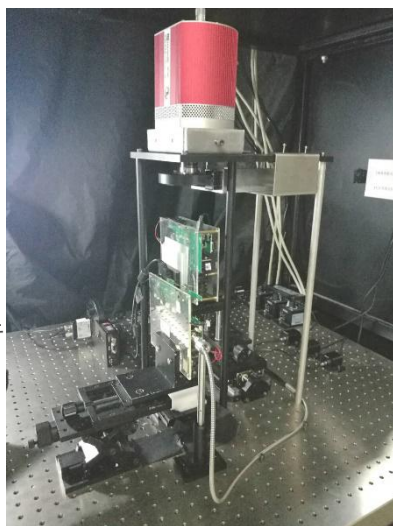
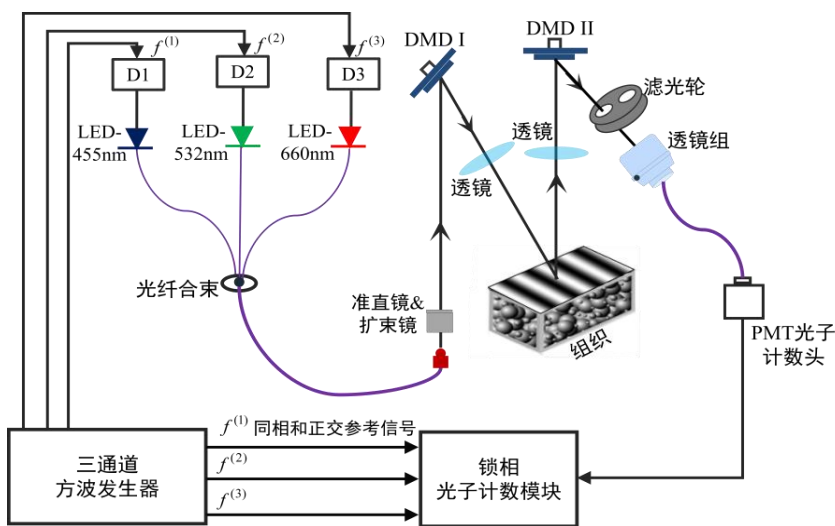


采用正弦调制光照射生物组织并捕捉反射图像，结合光学传输模型来重构出生物组织的光学参数，进而得到与之关联的生理参数作为疾病诊断和测评的依据，非常适合于皮肤、粘膜等浅层组织疾病的诊断及光动力治疗(PDT)过程监测。

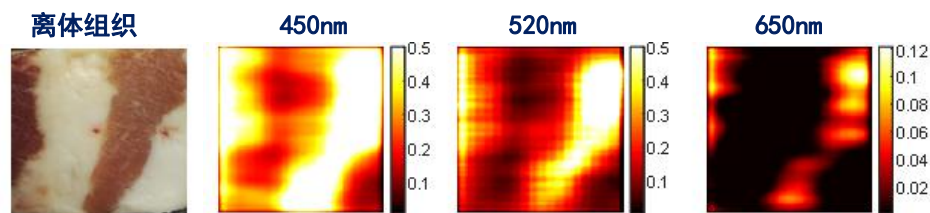


## 单像素成像

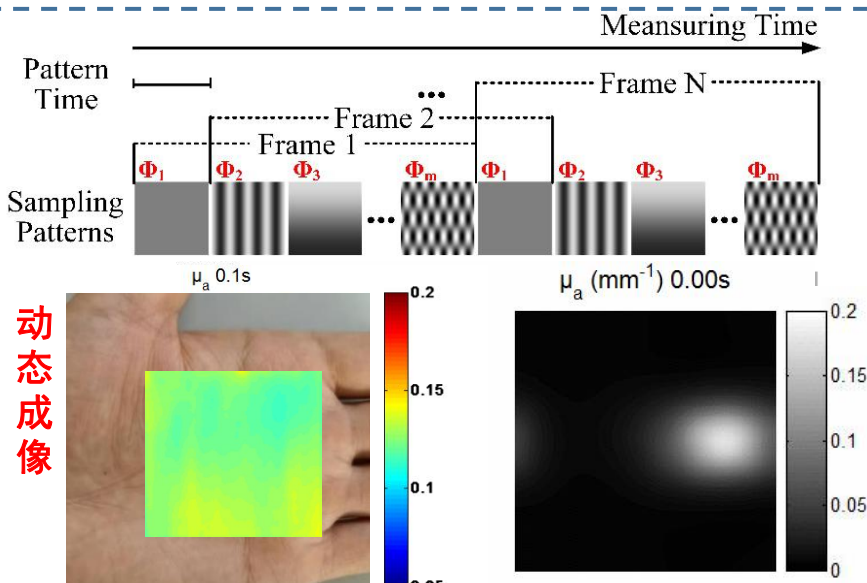
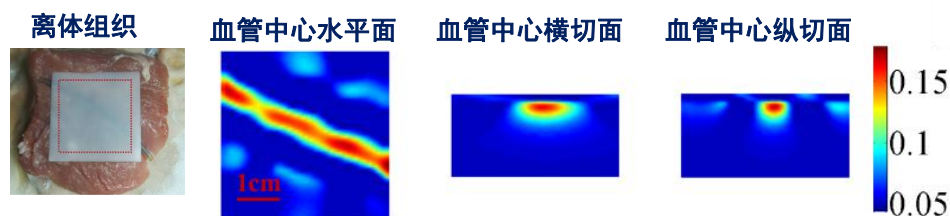
- 扩展测量波段
- 高性价比
- 多波长编码

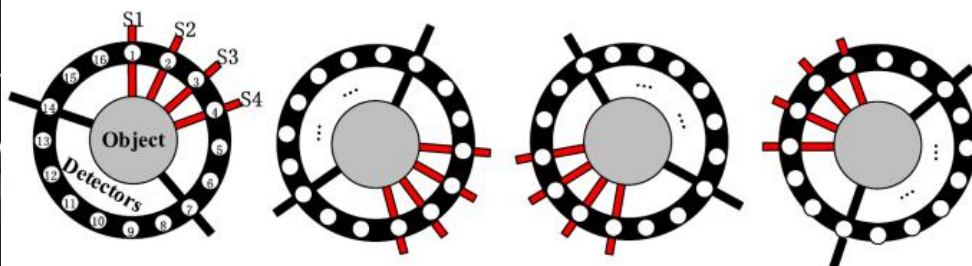
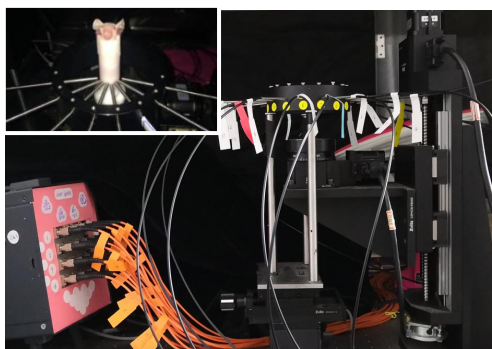
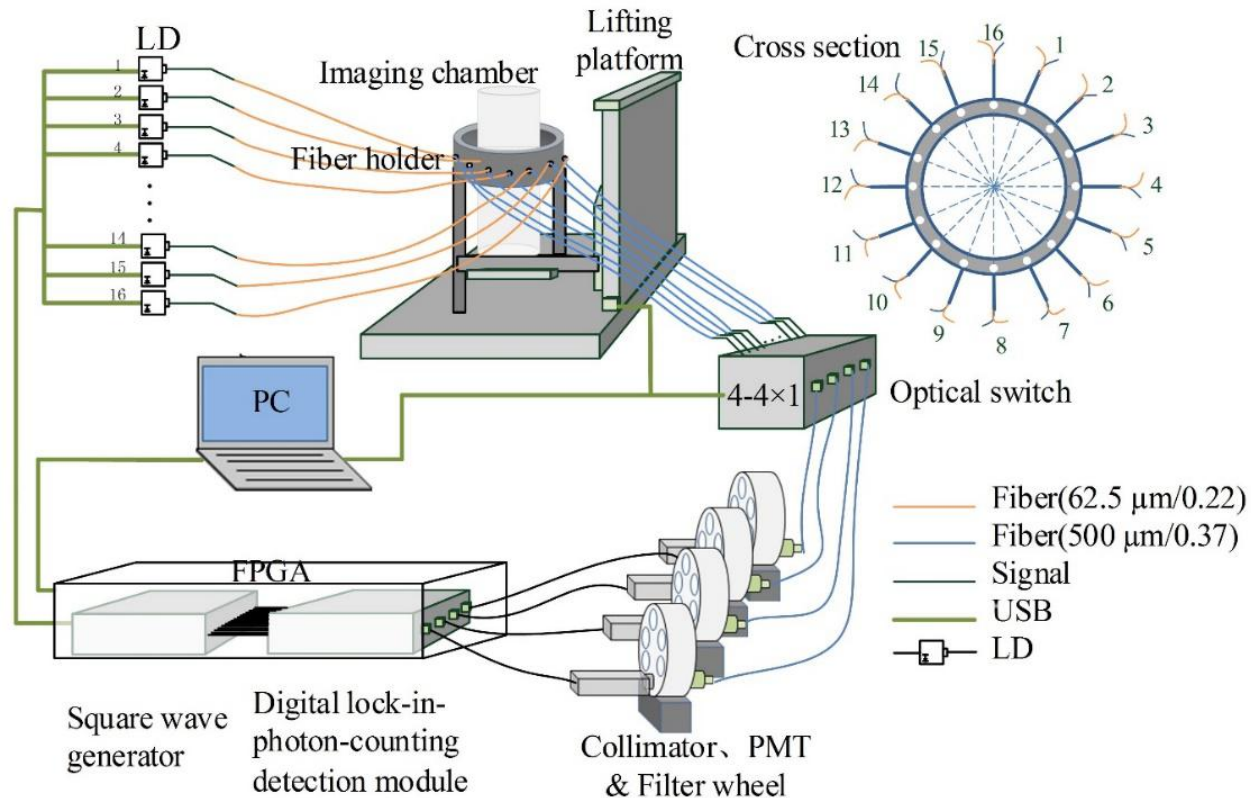


## 离体组织拓扑成像

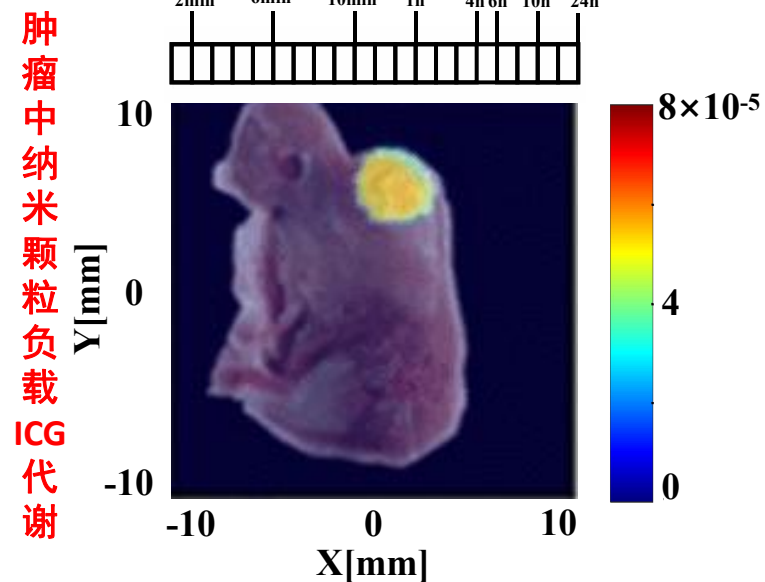
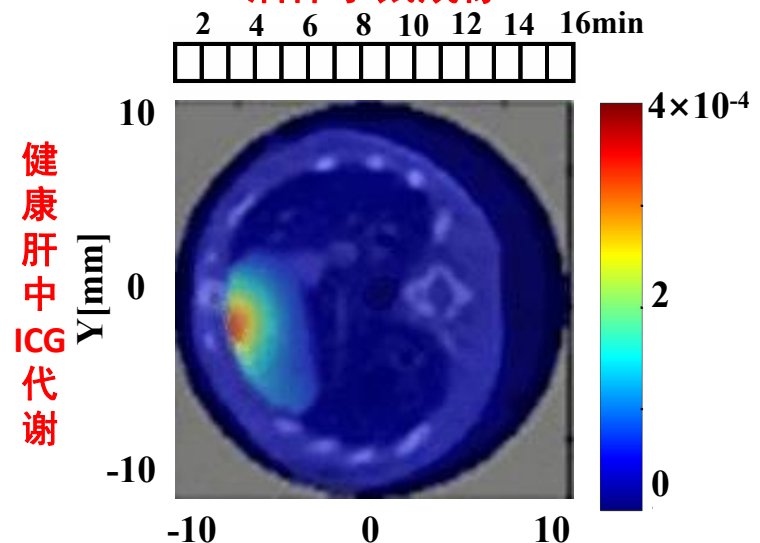


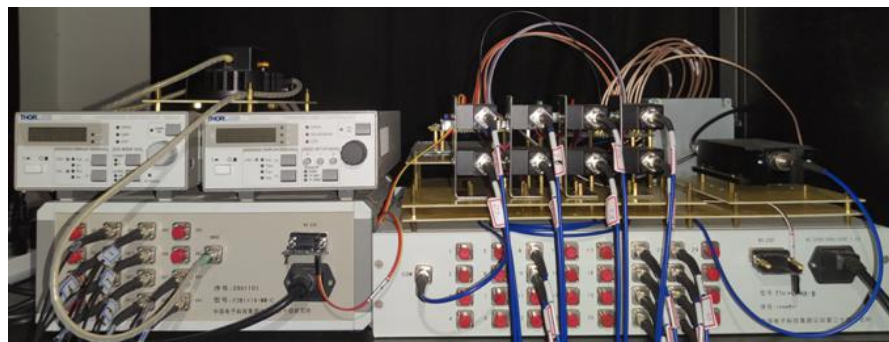
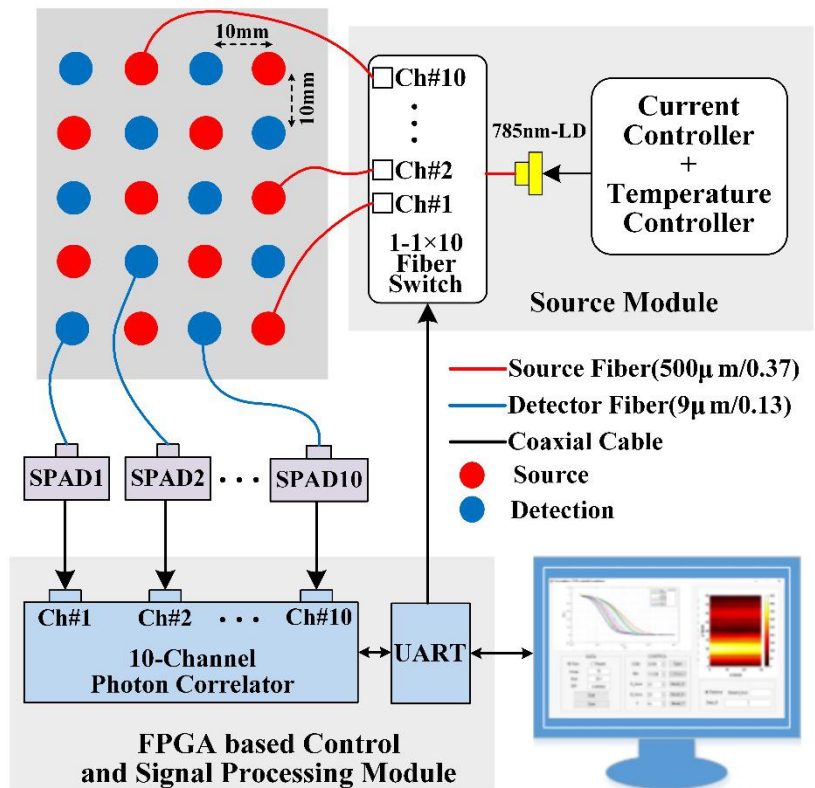
## 离体组织断层成像



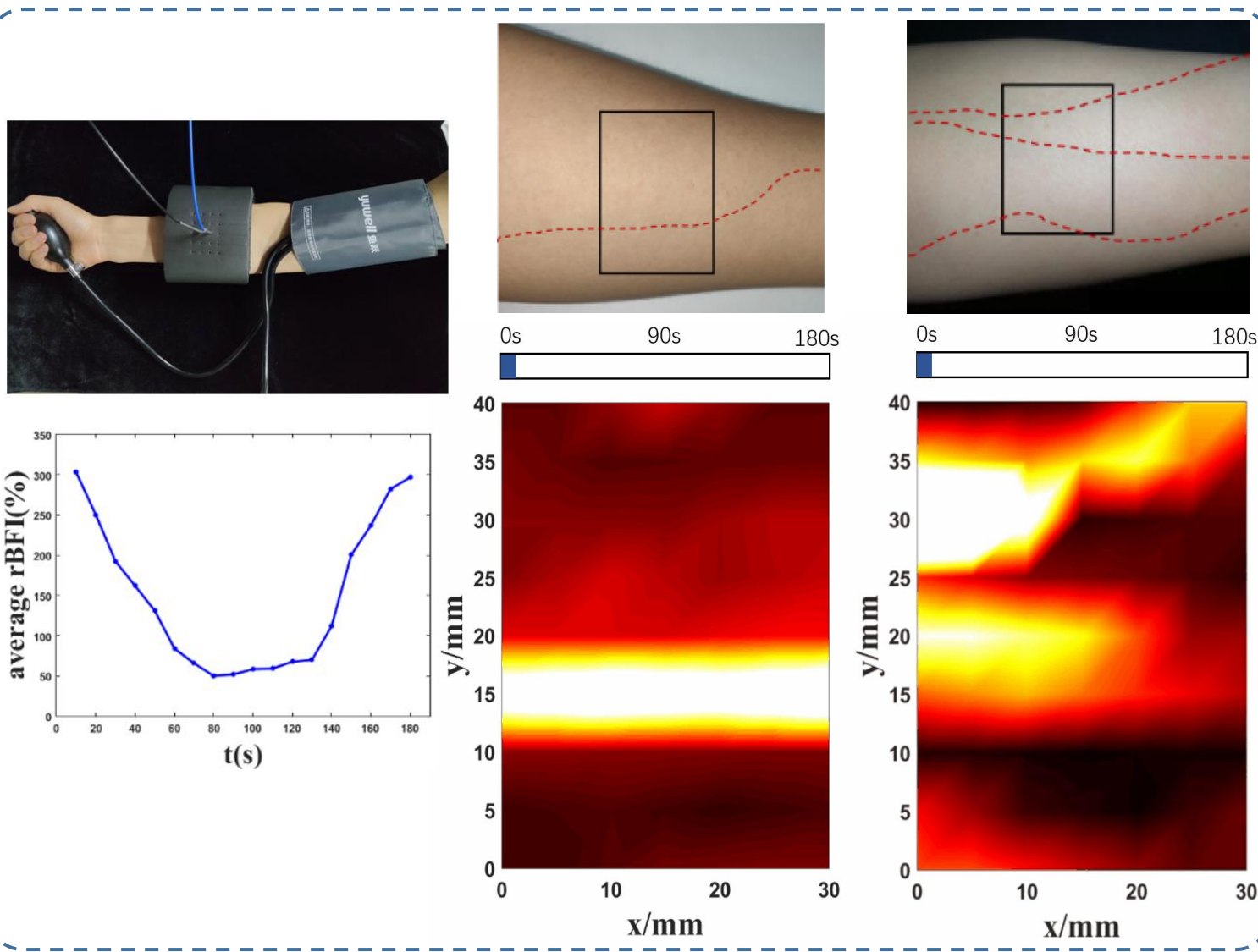


## 活体小鼠成像





## 静脉阻滞下前臂皮下血管血流成像

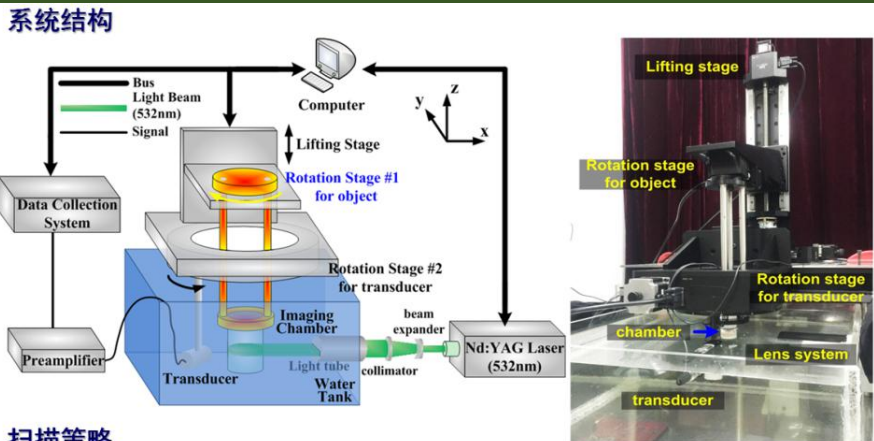


# 定量光声断层成像(q-PAT)

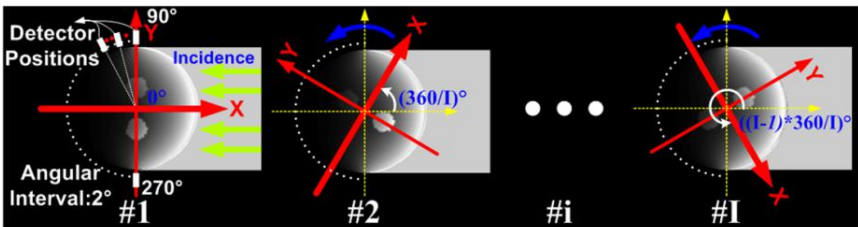
# 高分辨光学吸收图像



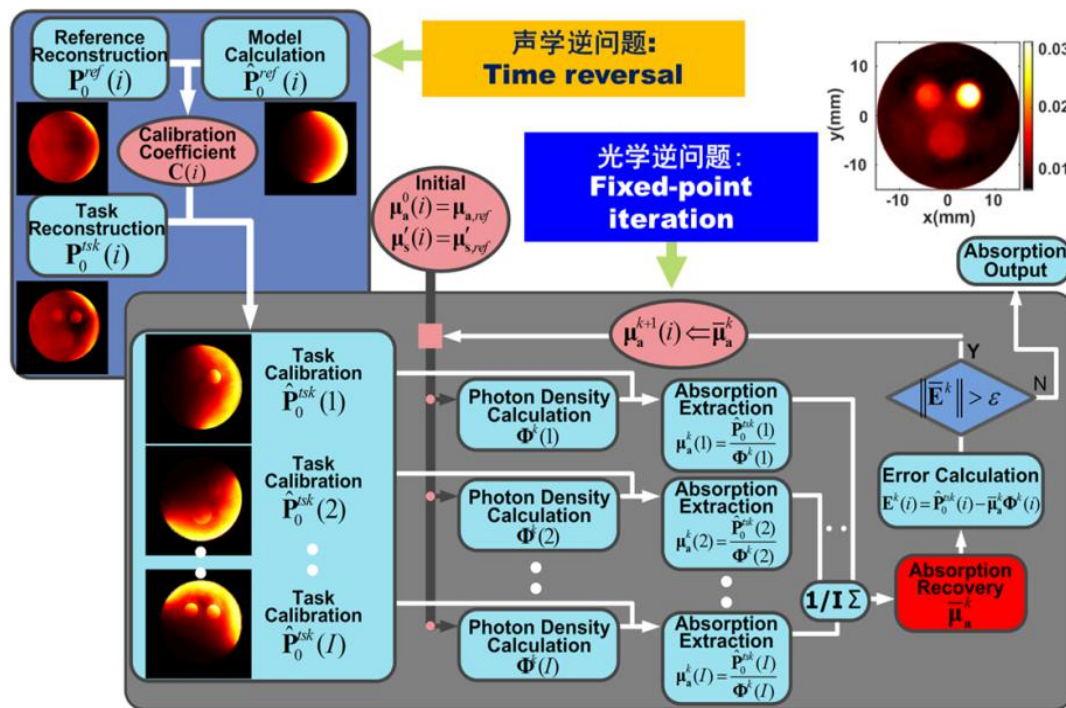
测量系统



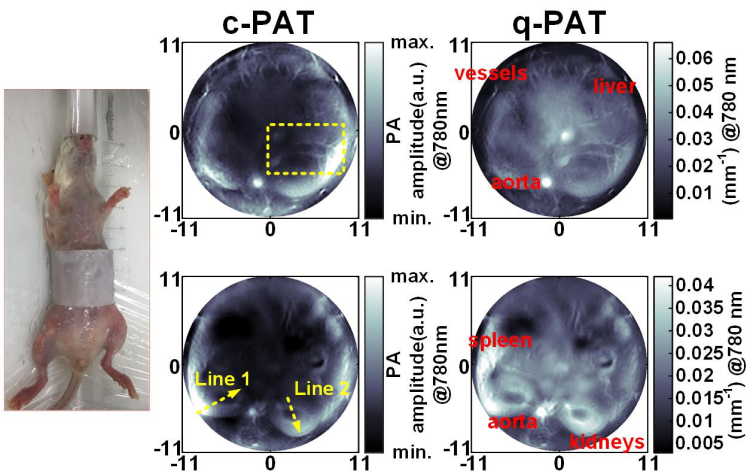
扫描策略



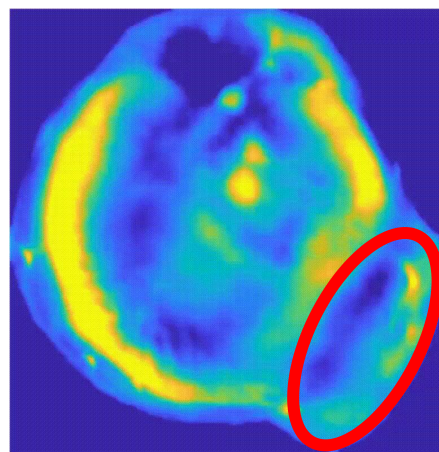
重建策略



活体成像



动态成像



Time post injection of IRDye: 5~35 minutes

tumor region

## 一、生物组织光子输运模型&图像重建方法

- 在体组织光学结构的获取(结构-功能混合模态成像)
- 光子输运过程的精确模拟(光学复杂域并行Monte-Carlo模拟)
- 深度学习网络方法(Physics-informed or End-to-End)

## 二、高灵敏、大动态、实时成像技术

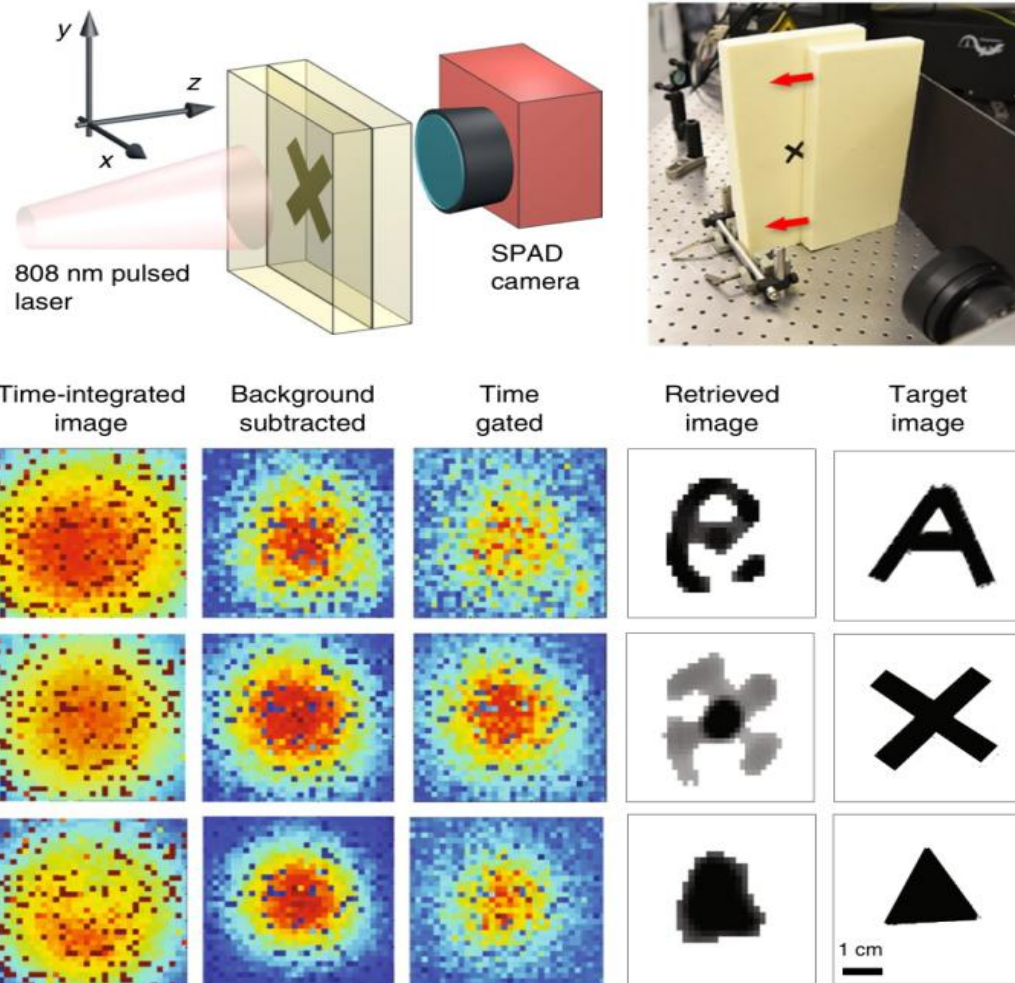
- 新型光电探测技术(SPAD-TDI阵列相机、SiPM探测器、NIR-II探测器)
- 多通道并行“扫描”时域系统(CDMA技术+同步累加光子计数)
- 宽场(空间频域测量、锁相光子计数)NIR-II/III区成像

## 三、高定量、多参数实现方案

- 多模态/模式影像融合(MRI、XCT、UI)
- 压缩感知技术和单像素成像
- 血氧动力和药代动力学成像
- NIRS和DCS混合成像(共系统问题)

## 四、高效、低毒、高特异性荧光剂

- Omocianine (Philips)
- 纳米量子点



Nature Photon. 2019



# 致谢



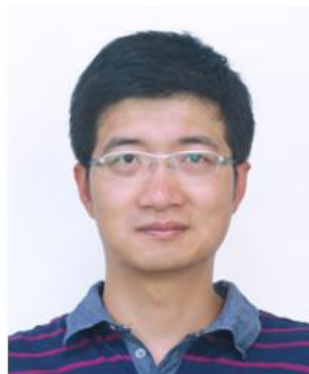
高峰教授



李娇副教授



张丽敏副教授



周仲兴副教授



李晨曦讲师

## 国家自然科学基金

60578008, 60678049, 30870657, 30970775, 81271618,  
81371602, 61475115, 61475116, 81401453, 61575140,  
81571723, 81671728, 81771880, 81871393, 81971656

科技部973/863计划 2006CB705700, 2009AA02Z413

天津市自然科学基金 13JCZDJC28000, 14JCQNJC14400,  
15JCZDJC31800, 15JCQNJC14500, 17JCZDJC32700

教育部 (20120032110056)



感谢各位专家关注，敬请指正